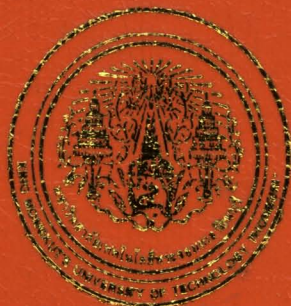




249315



## การศึกษานักพิมพ์ในประเทศไทยและผลกระทบต่อพัฒนาการอุตสาหกรรมการพิมพ์

นราธิวัชร์ จิตดับบลิว

วิทยานิพนธ์  
ที่ปรึกษา: ดร. นราธิวัชร์ จิตดับบลิว  
ผู้คุม: ดร. นราธิวัชร์ จิตดับบลิว  
อาจารย์ที่ปรึกษา: ดร. นราธิวัชร์ จิตดับบลิว  
อาจารย์ที่ปรึกษา: ดร. นราธิวัชร์ จิตดับบลิว  
นพ. นราธิวัชร์ จิตดับบลิว  
นพ. นราธิวัชร์ จิตดับบลิว

พ.ศ. 2554

600253780

ห้องสมุดงานวิจัย สำนักงานคณะกรรมการวิจัยแห่งชาติ



249315

## การศึกษาหมึกพิมพ์ที่เหมาะสมสมด่อฟิล์มพลาสติกย่อยสลายได้ทางชีวภาพ

นางสาวชญาดา ลินลับ วท.บ. (เทคโนโลยีการพิมพ์)



วิทยานิพนธ์นี้เป็นส่วนหนึ่งของการศึกษาตามหลักสูตร  
ปริญญาวิทยาศาสตรมหาบัณฑิต สาขาวิชาเทคโนโลยีการพิมพ์  
คณะครุศาสตร์อุตสาหกรรมและเทคโนโลยี  
มหาวิทยาลัยเทคโนโลยีพระจอมเกล้าธนบุรี

พ.ศ. 2554

คณะกรรมการสอบวิทยานิพนธ์

(ดร.นิรัต พุทธาชัย)

ประธานกรรมการสอบวิทยานิพนธ์

(รศ.ดร.สุชปาน เนตรประดิษฐ์)

กรรมการ และอาจารย์ที่ปรึกษาวิทยานิพนธ์

(ผศ.ดร.กฤติกา ตนันประเสริฐ)

กรรมการ

ลิขสิทธิ์ของมหาวิทยาลัยเทคโนโลยีพระจอมเกล้าธนบุรี

วิทยานิพนธ์	การศึกษาหมึกพิมพ์ที่เหมาะสมต่อฟิล์มพลาสติกย่อยสลายได้ทางชีวภาพ
หน่วยกิต	12
ผู้เขียน	นางสาวชญาดา ลินลับ
อาจารย์ที่ปรึกษา	รศ.ดร.สุชาปा เนตรประดิษฐ์
หลักสูตร	วิทยาศาสตรบัณฑิต
สาขาวิชา	เทคโนโลยีการพิมพ์
ภาควิชา	เทคโนโลยีการพิมพ์และบรรจุภัณฑ์
คณะ	ครุศาสตร์อุตสาหกรรมและเทคโนโลยี
พ.ศ.	2554

บทคัดย่อ

**249315**

การวิจัยนี้มีวัตถุประสงค์ เพื่อเปรียบเทียบคุณสมบัติทางการพิมพ์ของหมึกที่มีเรซินต่างชนิดกันบนฟิล์มพลาสติกย่อยสลายได้ทางชีวภาพ และเปรียบเทียบผลต่อการย่อยสลายของฟิล์มพลาสติกนี้กับพลาสติกชนิด HDPE โดยนำฟิล์มย่อยสลายได้ทางชีวภาพที่ผสมระหว่างพอลิเมอร์ชีวภาพและพอลิเมอร์ปีโตรเลียมชนิดพอลิเอสเตอร์มาทดสอบพิมพ์ด้วยหมึกจากวาร์นิชธรรมชาติ คือหมึกจากน้ำมันถั่วเหลืองและหมึกจากไนโตรเชลลูโลส เปรียบเทียบกับหมึกจากปีโตรเลียมทั่วไป เมื่อตรวจสอบคุณสมบัติทางการพิมพ์พบว่า หมึกจากน้ำมันถั่วเหลืองและหมึกจากไนโตรเชลลูโลสสามารถถ่ายทอดลงบนพลาสติกย่อยสลายได้ทางชีวภาพได้ดี หมึกจากไนโตรเชลลูโลสมีค่าความดำเน้ง และหมึกจากน้ำมันถั่วเหลืองมีความมันเงาดีกว่าหมึกจากปีโตรเลียม หมึกทั้งสองมีความทนทานต่อการขัดถู และมีความสามารถในการยึดติดดี เช่นเดียวกับหมึกจากไนโตรเลียม สำหรับการย่อยสลายของพลาสติกย่อยสลายได้ทางชีวภาพ มีผลต่างกันเมื่อพิมพ์ด้วยหมึกหรือวาร์นิชต่างชนิดกัน โดยจำลองสภาพการฟังชั่นทดสอบในดินแบบระบบเปิดเป็นระยะเวลา 90 วัน แล้วตรวจสอบการเปลี่ยนแปลงลักษณะพื้นผิวโดยถ่ายภาพกำลังขยายสูง พบว่า ชิ้นทดสอบที่ฟังดินมีลักษณะแตกเป็นเส้นร่างแท่งเกิดขึ้น แต่ไม่พบรการเปลี่ยนแปลงบนฟิล์ม HDPE ตรวจสอบคุณสมบัติเชิงกลพบว่า ฟิล์มมีค่าความต้านทานแรงดึง และการยึดตัวลดลง รวมทั้งชุดหลอมเหลวและน้ำหนักโมเลกุลของฟิล์มก็มีการลดลง โดยพลาสติกย่อยสลายได้ทางชีวภาพที่ไม่ผ่านการพิมพ์ มีการเปลี่ยนแปลงมากที่สุด รองลงมาคือ ฟิล์มพลาสติกที่พิมพ์ด้วยหมึกหรือวาร์นิชจากน้ำมันถั่วเหลือง และหมึกหรือวาร์นิชจากไนโตรเชลลูโลส ตามลำดับ ส่วนฟิล์มพลาสติกที่พิมพ์ด้วยหมึกหรือวาร์นิชจากปีโตรเลียมนั้นมีการเปลี่ยนแปลงน้อยมาก และเมื่อเปรียบเทียบหมึกกับวาร์นิช พบว่า ผงสีมีผลขัดขวางการย่อยสลายเล็กน้อย สรุปได้ว่าชนิดของหมึกหรือวาร์นิช มีผลขัดขวางการย่อยสลายของพลาสติกย่อยสลายได้ทางชีวภาพ โดยหมึกหรือวาร์นิชจาก

**249315**

ธรรมชาติมีพลน้อยกว่าหมึกจากปีโตรเลียม แต่มีคุณสมบัติทางการพิมพ์ใกล้เคียงกับหมึกจากปีโตรเลียม

คำสำคัญ : การย่อยสลายไคลทิกชีวภาพ / คุณสมบัติทางการพิมพ์ / วาร์นิช / พิล์มพลาสติก / หมึกจากน้ำมันถั่วเหลือง / หมึกจากไนโตรเชลดลูโลส / หมึกจากปีโตรเลียม

Thesis Title	The Study of Appropriate Printing Ink for Biodegradable Film
Thesis Credits	12
Candidate	Miss Chayada Liblab
Thesis Advisor	Assoc. Prof. Dr. Suchapa Netpradit
Program	Master of Science
Field of Study	Printing Technology
Department	Printing and Packaging Technology
Faculty	Industrial Education and Technology
B.E.	2554

### Abstract

**249315**

The objective of this research were to compare the printing properties of printing ink with different resin types on biodegradable film and compare the degradation effect of the biodegradable film to the HDPE film. The biodegradable film in this study was the blend film of commercial bio-based and petroleum-based biodegradable polymer. The printing inks were soy ink and nitrocellulose ink, which were compared with commercial petroleum ink. The results showed that the soy ink and nitrocellulose ink were better than the petroleum ink due to easier printing ink transfer, optical density of nitrocellulose ink was the highest and gloss of soy ink was the highest. Additional, the adhesion and the rub resistance of both ink films were good and similar to the petroleum ink film. For biodegradability test, after composting in soil for 90 days, the SEM micrographs showed the net-broken structure of biodegradable film surface while there were no changes detected in HDPE film surface. This result was more pronounced on the non-printing film than the film printed with soil ink nitrocellulose ink and petroleum ink, respectively. The mechanical properties (tensile strength and elongation), melting point and molecular weight of the polymer film were decreased, indicating that the structure of film was altered. In addition, pigments had more impact on biodegradable of film. Comparison to the petroleum ink, the soy ink and nitrocellulose ink had less impact on biodegradation of film, better ink transfer and printing qualities on the biodegradable film, while produced similar ink film properties.

**Keywords :** Biodegradation / Printing Property / Varnish / Plastic Film / Soy Ink / Petroleum Ink

Nitrocellulose Ink

## กิตติกรรมประกาศ

การวิจัยการศึกษาหนึ่งพิมพ์ที่เหมาะสมต่อบรรจุภัณฑ์พลาสติกย่อยสลายได้ทางชีวภาพ เป็นการวิจัยที่ได้รับการสนับสนุนและกำลังจากทุกๆ ด้าน ขอขอบคุณท่านอาจารย์ทุกท่านในภาควิชาเทคโนโลยีการพิมพ์และบรรจุภัณฑ์ มหาวิทยาลัยเทคโนโลยีพระจอมเกล้าธนบุรี ที่ให้ความรู้ คำแนะนำ ชี้แนะ และโอกาสให้คิณได้เข้ามาศึกษาในสถาบันแห่งนี้ ขอกราบขอบคุณท่านอาจารย์ รศ.ดร.สุชปา เนตรประดิษฐ์ ที่ให้โอกาสในการศึกษากับคิณ ขอขอบคุณอาจารย์ พศ.ดร.กฤติกา ตันประเสริฐ ที่ให้คำแนะนำ และ ความรู้ตลอดเวลาที่ได้เข้ามาศึกษา ขอขอบคุณ ดร.ธีรวัฒน์ ธีรภัทรพรชัย ที่ให้คำแนะนำในการสอบวิทยานิพนธ์ ขอขอบคุณ คุณสมศรี บินรามัน ที่ให้ความช่วยเหลือ ด้านเอกสาร อีกทั้งขอขอบคุณ เพื่อนๆ ทุกคนที่ช่วยเหลือและให้กำลังใจตลอดมา รวมทั้งทุกคนที่เกี่ยวข้องที่ช่วยให้งานวิจัยนี้สำเร็จลุล่วงจนได้ ขอขอบคุณพระคุณบิความารดาที่เป็นกำลังใจตลอดมา ขอกราบขอบพระคุณอย่างสูงไว้ ณ ที่นี่

## สารบัญ

หน้า

บทคัดย่อภาษาไทย	๑
บทคัดย่อภาษาอังกฤษ	๒
กิตติกรรมประกาศ	๓
<b>สารบัญ</b>	<b>๔</b>
รายการตาราง	๘
รายการรูปประกอบ	๙

### **บทที่**

<b>1. บทนำ</b>	<b>1</b>
1.1    ที่มาและความสำคัญของปัจจุบัน	1
1.2    วัตถุประสงค์ของงานวิจัย	1
1.3    สมมติฐาน	2
1.4    ประโยชน์ที่คาดว่าจะได้รับ	2
1.5    ขอบเขตของงานวิจัย	2
1.6    ข้อตกลงเบื้องต้น	3
1.7    นิยามศัพท์	4
<b>2. ทฤษฎีสัมพันธ์และงานวิจัยที่เกี่ยวข้อง</b>	<b>5</b>
2.1    พอลิเมอร์ย่อยสลายได้ทางชีวภาพ (Biodegradable Polymer)	5
2.2    กลไกการย่อยลายของพลาสติก	12
2.3    มาตรฐานพลาสติกย่อยสลายได้ทางชีวภาพที่เกี่ยวข้อง	15
2.4    หมึกพิมพ์เหลว	16
2.5    สารให้สี	29
2.6    เรซิน	33
2.7    หมึกพิมพ์จากน้ำมันถั่วเหลือง (Soy-based Ink)	37
2.8    หมึกพิมพ์ในโทรศัลลูโลส	43
2.9    การทดสอบคุณสมบัติทางการพิมพ์	43

## สารบัญ (ต่อ)

หน้า

2.10 เครื่องมือทดสอบสำหรับทดสอบคุณสมบัติหมึกพิมพ์เหลว	46
2.11 งานวิจัยที่เกี่ยวข้อง	48
<b>3. วิธีการดำเนินการศึกษา</b>	<b>51</b>
3.1 วัสดุ อุปกรณ์ และเครื่องมือที่ใช้ในงานวิจัย	51
3.2 วิธีดำเนินการทดลอง	52
3.3 วิธีการวิเคราะห์ผลการวิจัย	57
<b>4. ผลการศึกษา</b>	<b>58</b>
4.1 ผลการทดสอบพิมพ์ของหมึกที่ได้จากการนิชจากธรรมชาติ และวาร์นิชจากปฏิรูประดิษฐ์บนฟิล์มพลาสติกย่อยสลายได้ทางชีวภาพ	58
4.2 ผลการย่อยสลายของฟิล์มพลาสติกย่อยสลายได้ทางชีวภาพที่พิมพ์ด้วยหมึก และวาร์นิชชนิดต่างกัน	62
<b>5. สรุป อภิปรายผลและข้อเสนอแนะ</b>	<b>81</b>
5.1 สรุปผลการทดลอง	81
5.2 อภิปรายผลการทดลอง	82
5.3 ข้อเสนอแนะ	83
<b>เอกสารอ้างอิง</b>	<b>85</b>
 <b>ภาคผนวก</b>	
ก. วัสดุและอุปกรณ์	88
ข. ภาพถ่ายจากการวิจัย	92
ค. ตารางแสดงค่าการทดสอบพิมพ์	96
ง. ตารางแสดงค่าการทดสอบการย่อยสลายของฟิล์มพลาสติกย่อยสลายได้ทางชีวภาพ	98

## สารบัญ (ต่อ)

หน้า

ก. รูปแสดง จุดหลอมเหลว และ น้ำหนักโมเลกุลของพลาสติกยืดหยุ่นตามที่ทางชีวภาพ ที่เคลือบด้วยวาร์นิชที่ผลิตจากวัตถุดินทางธรรมชาติต่างชนิดกัน	104
ข. ผลงานวิชาการที่ได้รับการเผยแพร่	121
<b>ประวัติผู้วิจัย</b>	<b>128</b>

## รายการตาราง

ตาราง	หน้า
2.1 เปรียบเทียบลักษณะทั่วไประหว่างเรซินธรรมชาติและเรซินสังเคราะห์	17
2.2 ตัวทำละลายที่ใช้ในหมึกพิมพ์เหลวพร้อมสมบัติที่ควรทราบ	22
2.3 ประเภทผลิตภัณฑ์ที่บรรจุสำหรับงานพิมพ์บรรจุภัณฑ์ สมบัติที่ต้องการและ การเลือกใช้วัสดุดิน	28
2.4 ชนิดของเครื่องพิมพ์และความเร็วในการแห้งตัวของหมึกพิมพ์	28
2.5 เปรียบเทียบสมบัติต่างๆ ของผงสีอินทรีย์และผงสีอนินทรีย์	31
2.6 องค์ประกอบของกรดไขมันในน้ำมันถั่วเหลือง	40
2.7 สมบัติของน้ำมันถั่วเหลือง	41
4.1 แสดงข้อมูลและค่าความหนืดของหมึกจากปิโตรเลียม หมึกจากน้ำมันถั่วเหลือง และหมึกจากไนโตรเชลลูโลส	58
4.2 แสดงค่าความด้านเคลื่ยและค่าเบี่ยงเบนมาตรฐานของชั้นหมึกพิมพ์บนพลาสติก ย่อยสลายได้ทางชีวภาพ	59
4.3 แสดงค่าความมันเงาของหมึกจากปิโตรเลียม หมึกจากน้ำมันถั่วเหลือง และหมึกจากไนโตรเชลลูโลส บนพลาสติกย่อยสลายได้ทางชีวภาพ	60
4.4 แสดงค่าการยึดติดของหมึกจากปิโตรเลียม หมึกจากน้ำมันถั่วเหลือง และหมึกจาก ไนโตรเชลลูโลส บนพลาสติกย่อยสลายได้ทางชีวภาพ	61
4.5 แสดงค่าความทนทานต่อการขัดถูของชั้นหมึกจากน้ำมันปิโตรเลียม หมึกจาก น้ำมันถั่วเหลือง และหมึกจากไนโตรเชลลูโลส บนพลาสติกย่อยสลายได้ทางชีวภาพ	61
4.6 แสดงคุณสมบัติของดินในการทดลอง	62
4.7 แสดงค่าความหนาของพลาสติกชีวภาพที่ไม่ฟังดินและฟังดิน	68
4.8 แสดงค่าความหนาของพลาสติกชีวภาพที่เคลือบด้วยวาร์นิชที่ผลิตจากวัสดุดินต่างชนิดกัน ที่ไม่ฟังดินและฟังดิน	71
4.9 เปรียบเทียบผลต่าง ของพลาสติกที่พิมพ์ด้วยหมึกและวาร์นิช หลังการฟังดิน	74
4.10 แสดงน้ำหนักโมเลกุลของพลาสติกย่อยสลายได้ทางชีวภาพที่เคลือบด้วยวาร์นิชที่ผลิต จากวัสดุดินทางธรรมชาติต่างชนิดกัน ที่ไม่ฟังดินและฟังดิน	79
4.11 แสดงการเปรียบเทียบคุณสมบัติต่างๆ ของหมึกพิมพ์ที่ใช้วาร์นิชต่างกัน	80
ค.1 แสดงค่าความหนืดของหมึกพิมพ์	97

## รายการตาราง (ต่อ)

ตาราง	หน้า
ค.2 แสดงค่าความดำของชั้นหมึกพิมพ์บนพลาสติกย่อยสลายได้ทางชีวภาพ	97
ค.3 แสดงค่าความมันเงาของหมึกจากปีโตรเลียม หมึกจากน้ำมันถั่วเหลือง และหมึกจากไนโตรเชลดูลาลูส์ บนพลาสติกย่อยสลายได้ทางชีวภาพ	97
ง.1 แสดงค่าความหนาของพลาสติกชีวภาพที่พิมพ์และไม่พิมพ์เปรียบเทียบฟังและไม่ฟังดิน	99
ง.2 แสดงค่าความต้านทานแรงดึง (Tensile strength) ของพลาสติกที่พิมพ์และ ไม่พิมพ์ที่ไม่ฟังดิน	99
ง.3 แสดงค่าความต้านทานแรงดึง (Tensile strength) ของพลาสติกที่พิมพ์และ ไม่พิมพ์ที่ฟังดิน	100
ง.4 แสดงค่าเบอร์เซ็นต์การยึดตัว ของพลาสติกที่พิมพ์และไม่พิมพ์ที่ไม่ฟังดิน	100
ง.5 แสดงค่าเบอร์เซ็นต์การยึดตัว ของพลาสติกที่พิมพ์และไม่พิมพ์ที่ฟังดิน	101
ง.6 แสดงค่าความหนาของพลาสติกชีวภาพที่เคลือบด้วยวาร์นิชที่ผลิตจากวัตถุคิบต่างชนิดกัน ที่ไม่ฟังดินและฟังดิน	101
ง.7 แสดงค่าความต้านทานแรงดึง (Tensile strength) ของพลาสติกที่เคลือบและไม่เคลือบ ที่ไม่ฟังดิน	102
ง.8 แสดงค่าความต้านทานแรงดึง (Tensile strength) ของพลาสติกที่เคลือบและไม่เคลือบ ที่ฟังดิน	102
ง.9 แสดงค่าเบอร์เซ็นต์การยึดตัว ของพลาสติกที่เคลือบและไม่เคลือบที่ไม่ฟังดิน	103
ง.10 แสดงค่าเบอร์เซ็นต์การยึดตัว ของพลาสติกที่เคลือบและไม่เคลือบที่ฟังดิน	103

## รายการรูปประกอบ

รูป	หน้า
2.1 แสดงกระบวนการผลิตผลิตภัณฑ์พลาสติกย่อยสลายได้จากวัสดุดินมวลชีวภาพ	6
2.2 แสดงวิธีการเกิดพลาสติกย่อยสลายทางชีวภาพ	7
2.3 แสดงผลลัพธ์ของวัสดุดินที่ปลูกทดแทนใหม่ได้และเหล่งวัสดุดินปีටรเลียม	8
2.4 แสดงโครงสร้างทางเคมีของพอลิบิวธิลีนซัคชีเนต (PBS)	9
2.5 แสดงโครงสร้างทางเคมีของพอลิไตรเมทธิลีนเทอเรพชาเลต (PTT)	9
2.6 แสดงโครงสร้างทางเคมีของพอลิไวนิลแอลกอฮอล์ (PVA)	10
2.7 แสดงโครงสร้างทางเคมีของพอลิแลคติกแอสิด (PLA)	11
2.8 แสดงโครงสร้างทางเคมีของพอลิไฮดรอกซีอัลคาโนเอต (PHAs)	11
2.9 แสดงลักษณะภายนอกของเครื่องวัดความเจา	44
2.10 แสดงลักษณะภายนอกของเครื่องสเปกโทรเดนซิโตรมิเตอร์	45
2.11 แสดงลักษณะภายนอกของเครื่องทดสอบความทนทานต่อการขัดถู (Rub tester)	46
2.12 แสดงลักษณะภายนอกของเครื่องทดสอบพิมพ์ (RK Printing Proofer) หัวพิมพ์ Gravure	47
2.13 แสดงลักษณะภายนอกของถ้วยชาหนึ้น	47
4.1 แสดงลักษณะผิวหน้าของพลาสติก HDPE และแสดงลักษณะผิวหน้าของพลาสติกย่อยสลายได้ทางชีวภาพ (BF) ที่ไม่ผงดินและผงดิน เป็นระยะเวลา 90 วัน กำลังขยาย 1000 เท่า	63
4.2 แสดงลักษณะผิวหน้าของพลาสติกย่อยสลายได้ทางชีวภาพ (BF) ที่ผงดิน เป็นระยะเวลา 90 วัน กำลังขยาย 5000 เท่า	64
4.3 แสดงลักษณะผิวหน้าของพลาสติกย่อยสลายได้ทางชีวภาพที่พิมพ์ด้วยหมึกจากน้ำมันถั่วเหลือง (BF/SI) หมึกในโทรศัลลูโลส (BF/NI) และหมึกปีටรเลียม (BF/PI) ที่ไม่ผงดินและผงดิน เป็นระยะเวลา 90 วัน กำลังขยาย 1000 เท่า	65
4.4 แสดงลักษณะผิวหน้าของพลาสติกย่อยสลายได้ทางชีวภาพ (BF) เปรียบเทียบกับผิวหน้าของพลาสติกย่อยสลายได้ทางชีวภาพที่เคลือบด้วยวาร์นิชจากน้ำมันถั่วเหลือง (BF/SV) วาร์นิชจากในโทรศัลลูโลส (BF/NV) และ วาร์นิชจากปีටรเลียม (BF/PV) ที่ไม่ผงดินและผงดิน	67

## รายการรูปประกอบ (ต่อ)

รูป	หน้า
4.5 แสดงความต้านทานแรงดึง (MPa) ของพลาสติกย่อยสลายได้ทางชีวภาพที่ไม่ฟังดินและฟังดิน ในแนว MD	68
4.6 แสดงความต้านทานแรงดึง (MPa) ของพลาสติกย่อยสลายได้ทางชีวภาพที่ไม่ฟังดินและฟังดิน ในแนว CD	69
4.7 แสดงเปอร์เซ็นต์การยึดตัวของพลาสติกย่อยสลายได้ทางชีวภาพที่ไม่ฟังดินและฟังดิน ในแนว MD	69
4.8 แสดงเปอร์เซ็นต์การยึดตัวของพลาสติกย่อยสลายได้ทางชีวภาพที่ไม่ฟังดินและฟังดิน ในแนว CD	70
4.9 แสดงความต้านทานแรงดึง (MPa) ของพลาสติกย่อยสลายได้ทางชีวภาพที่เคลือบด้วยวาร์นิชที่ผลิตจากวัตถุดินทางธรรมชาติต่างชนิดกัน ที่ไม่ฟังดินและฟังดิน ในแนว MD	72
4.10 แสดงความต้านทานแรงดึง (MPa) ของพลาสติกย่อยสลายได้ทางชีวภาพที่เคลือบด้วยวาร์นิชที่ผลิตจากวัตถุดินทางธรรมชาติต่างชนิดกัน ที่ไม่ฟังดินและฟังดิน ในแนว CD	72
4.11 แสดงเปอร์เซ็นต์การยึดตัวของพลาสติกย่อยสลายได้ทางชีวภาพที่เคลือบด้วยวาร์นิชที่ผลิตจากวัตถุดินทางธรรมชาติต่างชนิดกันที่ไม่ฟังดินและฟังดิน ในแนว MD	73
4.12 แสดงเปอร์เซ็นต์การยึดตัวของพลาสติกย่อยสลายได้ทางชีวภาพที่เคลือบด้วยวาร์นิชที่ผลิตจากวัตถุดินทางธรรมชาติต่างชนิดกันที่ไม่ฟังดินและฟังดิน ในแนว CD	73
4.13 แสดงค่าจุดหลอมเหลวของพลาสติกย่อยสลายได้ทางชีวภาพ (BF) เปรียบเทียบระหว่างพลาสติกที่ไม่ฟังกับฟังดิน	75
4.14 แสดงค่าจุดหลอมเหลวของพลาสติกย่อยสลายได้ทางชีวภาพที่เคลือบด้วยวาร์นิชจากปีโตรเลียม (BF/PV) เปรียบเทียบระหว่างพลาสติกที่ไม่ฟังกับฟังดิน	76
4.15 แสดงค่าจุดหลอมเหลวของพลาสติกย่อยสลายได้ทางชีวภาพที่เคลือบด้วยวาร์นิชจากน้ำมันถั่วเหลือง (BF/SV) เปรียบเทียบกับพลาสติกย่อยสลายได้ทางชีวภาพที่เคลือบด้วยวาร์นิชที่เคลือบด้วยวาร์นิชจากน้ำมันถั่วเหลืองที่ฟังดิน (BF/SV ฟังดิน)	77
4.16 แสดงค่าจุดหลอมเหลวของพลาสติกย่อยสลายได้ทางชีวภาพที่เคลือบด้วยวาร์นิชจากในไตรเซลลูลูโลส (BF/NV) เปรียบเทียบกับพลาสติกย่อยสลายได้ทางชีวภาพที่เคลือบด้วยวาร์นิชจากไตรเซลลูลูโลสที่ฟังดิน (BF/NV ฟังดิน)	78

## รายการรูปประกอบ (ต่อ)

หัว	หน้า
ก.1 พลาสติกย่อยสลายได้ทางชีวภาพ	89
ก.2 ดินสวน	89
ก.3 เครื่องทดสอบการพิมพ์หมึกเหลว (RK Printing Proofer)	89
ก.4 โอลแคททดสอบพร้อมฝาปิด	89
ก.5 ตะแกรงร่อนคิน (Sieve เมอร์ 10)	90
ก.6 ตะแกรงเหล็กสำหรับวางรองบีกเกอร์	90
ก.7 เครื่อง Densitometer	90
ก.8 เครื่อง Gloss Meter	90
ก.9 เครื่องทดสอบการขัดถู	91
ก.10 เครื่อง Scanning Electron Microscope	91
ก.11 เครื่อง DSC 204 F1 Phoenix	91
ก.12 เครื่อง GPC	91
ข.1 ทดสอบพิมพ์	93
ข.2 วัดค่าความมันเงา	93
ข.3 ทดสอบความทนทานต่อการขัดถู (RK Printing Proofer)	93
ข.4 ร่อนคิน	93
ข.5 วางชิ้นทดสอบเครื่ยมผึ้ง	94
ข.6 ผึ้งชิ้นทดสอบ	94
ข.7 ปีดคลุมกันแสง	94
ก.8 ตัดชิ้นพลาสติกไปถ่ายภาพด้วย เครื่อง SEM	94
ข.9 วัดค่าความหนาของพลาสติก	95
ข.10 ทดสอบความต้านการแรงดึง	95
ข.11 ทดสอบหาจุดหลอมเหลว	95
ข.12 ทดสอบนานาชนิดโดยไม่เลกฤล	95
จ.1 แสดงค่าจุดหลอมเหลวของพลาสติกย่อยสลายได้ทางชีวภาพ (BF)	104
จ.2 แสดงค่าจุดหลอมเหลวของพลาสติกย่อยสลายได้ทางชีวภาพที่ฟังดิน (BF ฟังดิน)	105

## รายการรูปประกอบ (ต่อ)

รูป

หน้า

จ.3 แสดงค่าจุดหลอมเหลวของพลาสติกย่อยสลายได้ทางชีวภาพที่เคลือบด้วยวาร์นิช จากปีโตรเลียม (BF/PV)	106
จ.4 แสดงค่าจุดหลอมเหลวของพลาสติกย่อยสลายได้ทางชีวภาพที่เคลือบด้วยวาร์นิช จากปีโตรเลียมที่ฟังดิน (BF/PV ฟังดิน)	107
จ.5 แสดงค่าจุดหลอมเหลวของพลาสติกย่อยสลายได้ทางชีวภาพที่เคลือบด้วยวาร์นิช จากน้ำมันถั่วเหลือง ที่ไม่ฟังดิน (BF/SV )	108
จ.6 แสดงค่าจุดหลอมเหลวของพลาสติกย่อยสลายได้ทางชีวภาพที่เคลือบด้วยวาร์นิช จากน้ำมันถั่วเหลือง ที่ฟังดิน (BF/SV ฟังดิน )	109
จ.7 แสดงค่าจุดหลอมเหลวของพลาสติกย่อยสลายได้ทางชีวภาพที่เคลือบด้วยวาร์นิช จากไนโตรเชลลูโลส ที่ไม่ฟังดิน (BF/NV)	110
จ.8 แสดงค่าจุดหลอมเหลวของพลาสติกย่อยสลายได้ทางชีวภาพที่เคลือบด้วยวาร์นิช จากไนโตรเชลลูโลส ที่ฟังดิน (BF/NVฟังดิน)	111
จ.9 แสดงน้ำหนักโมเลกุลของพลาสติกย่อยสลายได้ทางชีวภาพ (BF)	112
จ.10 แสดงน้ำหนักโมเลกุลของพลาสติกย่อยสลายได้ทางชีวภาพที่ฟังดิน (BF ฟังดิน)	113
จ.11 แสดงน้ำหนักโมเลกุลของพลาสติกย่อยสลายได้ทางชีวภาพที่เคลือบด้วยวาร์นิช จากปีโตรเลียม (BF/PV)	114
จ.12 แสดงน้ำหนักโมเลกุลของพลาสติกย่อยสลายได้ทางชีวภาพที่เคลือบด้วยวาร์นิช จากปีโตรเลียม ที่ฟังดิน (BF/PV ฟังดิน)	115
จ.13 แสดงน้ำหนักโมเลกุลของพลาสติกย่อยสลายได้ทางชีวภาพที่เคลือบด้วยวาร์นิช จากน้ำมันถั่วเหลือง (BF/SV)	116
จ.14 แสดงน้ำหนักโมเลกุลของพลาสติกย่อยสลายได้ทางชีวภาพที่เคลือบด้วยวาร์นิช จากน้ำมันถั่วเหลือง ที่ฟังดิน (BF/SV ฟังดิน)	117
จ.15 แสดงน้ำหนักโมเลกุลของพลาสติกย่อยสลายได้ทางชีวภาพที่เคลือบด้วยวาร์นิช จากไนโตรเชลลูโลส (BF/NV)	118
จ.16 แสดงน้ำหนักโมเลกุลของพลาสติกย่อยสลายได้ทางชีวภาพที่เคลือบด้วยวาร์นิช จากไนโตรเชลลูโลส ที่ฟังดิน (BF/NV ฟังดิน )	119